

ارائه روابط تجربی به منظور محاسبه مقاومت فشاری و مدول الاستیسیته سنگ‌های سخت با استفاده از نتایج چکش اشمیت

*غلامرضا خانلری: دانشگاه بوعالی سینا همدان، گروه زمین‌شناسی

داود فریدونی: دانشگاه آزاد اسلامی واحد همدان، گروه مهندسی عمران

تاریخ: دریافت ۸۸/۸/۶ پذیرش ۹۰/۱۲/۱۳

چکیده

از چکش اشمیت بهمنظور محاسبه مقاومت فشاری درزهای (JCS) و مدول الاستیسیته سنگ‌ها، در بیماری از پروژه‌های مهندسی استفاده می‌شود. استفاده از این ابزار، به عنوان روشی سریع، ارزان و غیرمخرب تلقی شده و از این رو مزیت به حساب می‌آید. در این زمینه پس از استفاده از چکش اشمیت و ثبت عدد بازگشتی از روی آن، محققان مختلف و از جمله بارتون و کوبی، دیبر، کیدبیترزکی، آفموت و ISRM برای محاسبه پارامترهای مذکور روابط تجربی متعددی ارائه کردند که در این مقاله به بررسی و تحلیل این روابط می‌پردازیم. با توجه به اهمیت این موضوع در این پژوهش روابط تجربی جدیدی برای محاسبه این پارامترها ارائه شده است که کاربرد آن‌ها برای سنگ‌های سخت نتایج بسیار خوبی را نشان می‌دهد. لازم به توضیح است که این روابط با استفاده از ۸۲۷ مورد از نتایج واچهش بهوسیله چکش اشمیت بر روی سطوح درزهای توءه سنگ‌های سخت نظیر گرانیت، دیوریت و هورنفلس صورت پذیرفته است که در حاشیه جاده گیج نامه-شهرستانه واقع در جنوب غرب شهرستان همدان قرار دارند.

واژه‌های کلیدی: سنگ‌های سخت، چکش اشمیت، مقاومت فشاری درزه، مدول الاستیسیته.

مقدمه

مقاومت فشاری تکمحوری و مدول الاستیسته از مهم‌ترین خواص مهندسی سنگ‌ها هستند که در طراحی پروژه‌های سطحی و زیرزمینی در توده‌های سنگی به‌طور گسترده‌ای استفاده می‌شوند. البته چگونگی و روش تعیین این پارامترها در استانداردهای (ISRM) و (ASTM1981) ارائه شده است [۹، ۱۴]. استفاده از چکش اشمیت^۱ و اسکلرسکوپ شور^۲ یکی از روش‌های غیرمستقیم تعیین مقاومت فشاری سنگ‌ها است. استفاده از این وسایل علاوه بر اندازه‌گیری سختی بازگشتی سنگ‌ها، امکان دست‌یابی به مقاومت فشاری تکمحوری و مدول الاستیسته سنگ را مهیا می‌سازد [۱۰]. چکش اشمیت اولین بار در اواخر دهه ۱۹۴۰ به عنوان روشی غیرمخرب برای تعیین مقاومت بتن به کار گرفته شد [۵]. برای اولین بار در سال ۱۹۴۸ مهندسی سوئیسی به نام ارنست اشمیت^۳ استفاده از چکش اشمیت را پیشنهاد داد و بهمین دلیل، اکنون به نام آزمایش چکش اشمیت شناخته می‌شود. این وسیله در اوایل دهه ۱۹۶۰ در مکانیک سنگ برای تعیین مقاومت فشاری تکمحوری و مدول الاستیسته مصالح سنگی استفاده شد [۵، ۶، ۱۱]. هم‌چنین امروزه برای تعیین مقاومت فشاری سطوح درزه طبیعی^۴ (JCS) از چکش اشمیت بطور گسترده‌ای استفاده می‌گردد.

بر حسب مکانیزم عملکرد و مقدار انرژی حاصل از هر یک از انواع چکش‌ها، دو نوع مختلف از چکش اشمیت وجود دارد که به نام تیپ‌های L و N معروف می‌باشند. انرژی مؤثر چکش اشمیت تیپ L برابر $L = 735 \text{ نیوتون متر}$ می‌باشد که فقط یک سوم انرژی تأثیر چکش تیپ N که دارای انرژی تأثیر $N = 207 \text{ نیوتون متر}$ است [۹]. لازم به ذکر است که (ISRM) ۱۹۷۸ در تعیین مقاومت فشاری سنگ‌ها، بر استفاده از چکش تیپ L تأکید دارد، اما (ASTM 2001) تأکیدی بر نوع چکش ندارد [۵].

چکش اشمیت دارای میله‌ای فولادی است که در تماس با سطح سنگ یا سطح درزه قرار داده می‌شود. در داخل چکش وزنه‌ای وجود دارد که با مقدار انرژی معینی بر میله فولادی

۱. Schmidt Hammer

۲. Shore Sclerroscope

۳. Schmidt E

۴. Joint Compressive Strength

ضریبه می‌زند (شکل ۱). در واقع مکانیسم عمل چکش اشمیت استوار بر ضریبه زدن میله فولادی بر روی سطح درزه و بازگشت آن و قرائت عدد مربوطه از روی شاخص چکش است. مقدار عدد قرائت شده در این آزمایش متناسب با سختی سطحی است که میله فولادی چکش با آن برخورد می‌کند.

عدد بازگشتی را می‌توان با منحنی کالیبره موجود بر روی چکش به مقاومت فشاری سنگ ارتباط داد. منحنی کالیبره برای مقاومت فشاری در این روش دارای حساسیت بسیار زیادی است و تحت تأثیر عوامل متعددی از جمله نوع سنگ، وزن واحد حجم، میزان تخلخل، درصد رطوبت، درجه هوازدگی و امتداد قرارگیری چکش نسبت به سطح سنگ به هنگام انجام آزمایش و استفاده از چکش اشمیت است [۱].



شکل ۱. نحوه استفاده از چکش اشمیت

هنگام استفاده از چکش اشمیت بر روی سطوح درزه سنگ، برای هر نمونه حداقل باید ۲۰ قرائت از واجهش اشمیت انجام شود، سپس نیمی از داده‌ها که دارای کمترین مقدار هستند، حذف شده و از بقیه میانگین‌گیری به عمل آید [۴]. از آنجا که راستا و نحوه به کارگیری

چکش اشمیت بر روی عدد بازگشتی مؤثر است، بنا بر این باید نتایج با توجه به راستای استفاده از چکش مطابق جدول ۱ تصحیح گردد. برای این منظور، مقادیری که در جدول دارای علامت مثبت هستند به مقدار میانگین عدد بازگشتی اضافه شده و مقادیر دارای علامت منفی از مقدار میانگین کسر می‌گردند [۳]. اگر زاویه قرارگیری چکش نسبت به سطح افق صفر باشد، یعنی چکش افقی استفاده شود، نیاز به تصحیح عدد بازگشتی نیست. همچنین در صورتی که عدد واجهش محاسبه شده مضربی از عدد ۱۰ نباشد، باید از درون یا بی برای محاسبه مقدار تصحیح، استفاده کرد.

جدول ۱. تصحیح سختی اشمیت برای واجهش‌های غیرافقی

مقدار تصحیح برای زاویه انحراف				تعداد واجهش (R)
به سمت پایین		به سمت بالا		
-۹۰	-۴۵	+۴۵	+۹۰	
+۳/۲	+۲/۴	-	-	۱۰
+۳/۴	+۲/۵	-۳/۵	-۵/۴	۲۰
+۳/۱	+۲/۳	-۳/۱	-۴/۷	۳۰
+۲/۷	+۲/۰	-۲/۶	-۳/۹	۴۰
+۲/۲	+۱/۶	-۲/۱	-۳/۱	۵۰
+۱/۷	+۱/۳	-۱/۶	-۲/۳	۶۰

مواد و روش‌ها

برای انجام این پژوهش با انجام بررسی‌های کتابخانه‌ای، اطلاعات موجود در رابطه با توده گرانیتی الوند و هاله دگرگونی مجاورتی پیرامون آن واقع در استان همدان، جمع‌آوری گردید. سپس در طی بازدیدهای صحراوی، نمونه‌برداری برای تهیه مقاطع نازک صورت گرفته و با تهیه مقاطع نازک و انجام پژوهش‌های سنگ‌شناسی، مشخص گردید که بخش عمده توده پلوتونیک الوند را گرانیتوئیدها و سنگ‌های هاله دگرگونی که اکثراً از نوع هورنفلس‌های کوارتز-فلدیپاتی هستند، در بر گرفته‌اند. کاربرد چکش اشمیت بر روی سنگ‌های مذکور در چند ایستگاه مختلف منجر به کسب داده‌های صحراوی و عدد سختی بازگشتی اشمیت گردید. در مراحل بعد با نمونه‌برداری از سنگ‌های مذکور و تعیین وزن واحد حجم خشک و مقاومت

فشاری تکمحوری آن‌ها در آزمایشگاه، با انطباق منحنی‌هایی بر روی داده‌های حاصل، روابطی برای محاسبه مقاومت فشاری و مدول الاستیسیته سنگ‌های سخت ارائه گردید.

پیشینهٔ تحقیق

در مکانیک سنگ، کاربرد اصلی چکش اشمیت محاسبه مقادیر مقاومت فشاری و مدول الاستیسیته سنگ است که از طریق نمودارها و روابط تجربی قابل محاسبه است [۷]. در این باره محققان مختلف روابط تجربی متعددی را برای محاسبه پارامترهای مذکور ارائه کرده‌اند که برخی از مهم‌ترین آن‌ها در ادامه معرفی گردیده‌اند. همچنین روابط پیشنهادی به‌وسیله سایر محققان در جدول ۲ ارائه شده است.

روابط دیگر

دیگر^۱ (۱۹۶۰) برای محاسبه مقاومت فشاری و مدول الاستیسیته سنگ این روابط را ارائه کرد [۸]، [۱۳] :

$$\sigma_a = 6.9 \times 10^{[0.16+0.0078(H_s \times \gamma_a)]} \quad (1)$$

$$E_t = 600.5 \times (H_s \cdot \gamma_a) - 20.276 \quad (2)$$

در این روابط H_s شاخص عدد سختی اشمیت، γ_a وزن واحد حجم خشک سنگ (gr/cm^3)، σ_a مقاومت تراکمی تکمحوری (MPa) و E_t مدول الاستیسیته سنگ (GPa) می‌باشد. لازم به توضیح است که این رابطه برای سختی‌های بین ۰ تا ۶۰ کاربرد دارد.

رابطهٔ کیدبینزکی^۲ (۱۹۸۰)

$$\sigma_a = 0.52e^{(0.05H_s + \gamma_a)} \quad (3)$$

در این رابطه σ_a مقاومت تراکمی تکمحوری (MPa)، e پایه لگاریتم نپرین، H_s شاخص میانگین عدد سختی اشمیت و γ_a وزن واحد حجم سنگ (gr/cm^3) است [۵].

رابطهٔ پیشنهادی ISRM 1981

$$\log \sigma_c = 0.00014\gamma_a H_s + 3.16 \quad (4)$$

در این رابطه σ_c مقاومت تراکمی تکمحوری (Psi)، H_s عدد سختی بازگشتی اشمتیت و γ_d وزن واحد حجم سنگ (gr/cm^3) است.

رابطه بارتون^۱ و کوبی^۲ (۱۹۷۷)

$$\text{LogJCS} = 0.00088\gamma_d R + 1.01 \quad (5)$$

در این رابطه JCS مقاومت تراکمی تکمحوری (MPa)، R عدد سختی بازگشتی اشمتیت و γ_d وزن واحد حجم سنگ (KN/m^3) است [۱۲].

رابطه آفموت^۳ (۱۹۷۳)

$$\text{JCS} = 0.33 \times (R \times \gamma)^{1.35} \quad (6)$$

در این رابطه R شاخص عدد سختی اشمتیت، γ وزن واحد حجم سنگ (gr/cm^3) و JCS مقاومت تراکمی تکمحوری (MPa) سنگ است [۵].

لازم به توضیح است که روابط فوق همگی تجربی است و برای استفاده از آنها باید دقیق کرد که کدام رابطه برای استفاده در تعیین مقاومت تراکمی تکمحوری سطوح درزه سنگ‌های مورد نظر مناسب‌تر است و انطباق بهتری با مقاومت تراکمی تکمحوری سنگ دارد. در جدول ۲ برخی دیگر از مهم‌ترین روابط ارائه شده توسط محققان مختلف در ارتباط با عدد بازگشتی اشمتیت، مقاومت فشاری تکمحوری و مدول الاستیسیتی سنگ‌ها ارائه شده است. در این جدول σ_{UCS} مقاومت تراکمی تکمحوری (MPa)، E_t مدول الاستیسیتی مماسی در ۵۰ درصد مقاومت تراکمی تکمحوری، R_L و R_N به ترتیب اعداد بازگشتی حاصل از چکش‌های تیپ L و N، r ضریب رگرسیون روابط و ρ دانسیتی سنگ (gr/cm^3) است. چنان‌که در جدول ۲ ملاحظه می‌شود، افراد مختلفی تلاش کرده‌اند روابط مختلفی را برای استفاده از داده‌های حاصل از چکش اشمتیت ارائه کنند، که در همین راستا هدف این پژوهش نیز ارائه روابطی است که تاکنون کسی ارائه نکرده است و برای اولین بار معرفی می‌گرددند، لذا پژوهش نیز حاضر از این نقطه نظر حائز اهمیت است.

۱. Barton

۲. Choubey

۳. Aufmuth

جدول ۲. معرفی برخی از مهمترین روابط ارائه شده توسط محققین مختلف در ارتباط با عدد بازگشتی اشمیت، مقاومت فشاری تک محوری و مدول الاستیسیته سنگ‌ها [۵]

References	Proposed correlations*	<i>r</i>	Validity range			
				Rock type	σ_{UCS}	<i>R</i>
Aufmuth (1973)	$\sigma_{UCS}=0.33*(R_L*\rho)^{1.35}$ $E_i=4911.84*(R_L*\rho)^{1.06}$	0.80 0.75	25 different lithologies		12–362	10–54
Kahraman (1996: in Yilmaz and Sendir, 2002)	$\sigma_{UCS}=0.00045*(R_N*\rho)^{2.46}$	0.96	10 different lithologies		–	–
Gokceoglu (1996: in Yilmaz and Sendir, 2002)	$\sigma_{UCS}=0.0001*R^{3.27}$	0.84	Marl		–	–
Yasar and Erdogan (2004)	$\sigma_{UCS}=0.000004*R_L^{4.29}$	0.89	Carbonates, sandstone, basalt		40–112	45–55
Dearman and Irfan (1978)	$\sigma_{UCS}=0.00016*R_L^{3.47}$ $E_i=1.89*R_L-60.55$	– 0.93	Granite (Grade I to IV)		11–266	23–62
Xu et al. (1990)	$\sigma_{UCS}=2.98*e^{(0.06*R_L)}$ $E_i=1.77*e^{(0.07*R_L)}$ $\sigma_{UCS}=2.99*e^{(0.06*R_L)}$ $E_i=2.71*e^{(0.04*R_L)}$ $\sigma_{UCS}=2.98*e^{(0.063*R_L)}$ $E_i=2.57*e^{(0.03*R_L)}$ $\sigma_{UCS}=3.78*e^{(0.05*R_L)}$ $E_i=1.75*e^{(0.05*R_L)}$ $\sigma_{UCS}=1.26*e^{(0.52*R_L*\rho)}$ $E_i=0.07*e^{(0.31*R_L*\rho)}$	0.95 0.96 0.91 0.91 0.94 0.88 0.93 0.95 0.92 0.89	Mica-schist Prasinite Serpentinite Gabbro Mudstone		9–56 8–145 – – – – – – – –	17–53 21–64 – – – – – – – –
Deere and Miller (1966)	$\sigma_{UCS}=9.97*e^{(0.02*R_L*\rho)}$ $E_i=0.19*R_L*\rho^2-7.87$	0.94 0.88	28 different lithologies		22–358	23–59
Beverly et al. (1979: in Xu et al., 1990)	$\sigma_{UCS}=12.74*e^{(0.02*R_L*\rho)}$ $E_i=0.19*R_L*\rho^2-12.71$ $\sigma_{UCS}=3.32*e^{(0.04*R_L*\rho)}$	0.93	20 different lithologies		38–218	–
Cargill and Shakoor (1990)	$\sigma_{UCS}=18.17*e^{(0.02*R_L*\rho)}$ $\sigma_{UCS}=6.97*e^{(0.01*R_N*\rho)}$ $\sigma_{UCS}=1.45*e^{(0.07*R_L)}$ $E_i=1.04*e^{(0.06*R_L)}$ $\sigma_{UCS}=0.92*e^{(0.07*R_N)}$ $E_i=0.72*e^{(0.05*R_N)}$	0.98 0.78 0.92 0.91 0.94 0.92	Sandstones Carbonates Granite (Grade I to IV)		35–271 4–153 6–196	27–49 15–70 20–65 23–76
Kahraman (2001)	$\sigma_{UCS}=2.27*e^{(0.06*R_L)}$ $E_i=3.15*e^{(0.05*R_L)}$ $\sigma_{UCS}=2.21*e^{(0.07*R_N)}$ $E_i=0.00013*R_N^{3.09}$	0.91 0.95 0.96 0.99	Gypsum Limestone, sandstone Syenite, granite		15–30 11–259	30–44 24–73
This study	$\sigma_{UCS}=0.52*e^{(0.05*R*\rho)}$ $\sigma_{UCS}=0.40*R_N-3.60$ $\sigma_{UCS}=0.99*R_L-0.38$ $\sigma_{UCS}=0.88*R_L-12.11$ $\sigma_{UCS}=2.00*R_L$ $\sigma_{UCS}=4.85*R_L-76.18$ $\sigma_{UCS}=4.29*R_L-67.52$ $E_i=1.94*R_L-33.93$ $\sigma_{UCS}=8.36*R_L-416.00$	0.94 0.70 0.87 0.86 0.77 0.96 0.88 0.87	Coal, shale, mudstone, siltstone, sandstone Coal Coal Coal Sandstone, siltstone, mudstone, seatearth Sandstone, siltstone, limestone, anhydrite 33 different carbonates Granite		3–13 7–46 13–41 12–73 14–215 22–311 109–193	15–40 12–44 28–53 10–35 19–52 16–60 64–72
Yilmaz and Sendir (2002)						
Katz et al. (2000)						
Kidybinski (1980)						
Shorey et al. (1984)						
Hanamy and DeMarco (1985)						
Ghose and Chakraborti (1986)						
Singh et al. (1983)						
O' Rourke (1989)						
Sachpazis (1990)						
Tugrul and Zarif (1999)						

ارائه روابط تجربی حاصل از این پژوهش

در این پژوهش، روابط تجربی جدیدی برای محاسبه مقاومت فشاری دیواره درزه و مدول الاستیسیته سنگ ارائه شده است که این روابط حاصل استفاده از ۸۲۷ مورد از نتایج واجهش توسط چکش اشمیت تیپ N بر روی سطوح درزه توده سنگ‌های سخت نظری گرانیت،

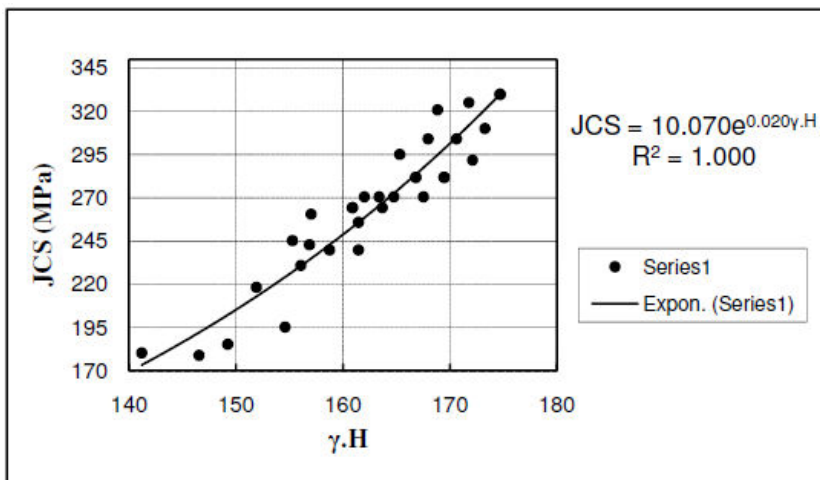
دیوریت و هورنفلس هستند. سنگ‌های آزمایش شده، توده پلوتونیک الوند و هاله دگرگونی اطراف آن را شکیل می‌دهند. نتایج پژوهش‌های سنگ‌شناسی مشخص کرده است که بخش عمله توده پلوتونیک الوند را گرانیت‌های و بهویژه گرانیت‌های پورفیروئید (مونزو گرانیت-گرانوپوریت)، گرانیت‌های مزوکرات و گرانیت‌های هولولوکرات تشکیل داده‌اند و سنگ‌های هاله دگرگونی در اکثر مناطق از نوع هورنفلس‌های کوارتز-فلدسپاتی است [۲]. این سنگ‌ها در حاشیه جاده گنج‌نامه- شهرستانه در جنوب غرب شهرستان همدان رخنمون خوبی دارند و به همین دلیل برای انجام این پژوهش از این رخنمون‌ها استفاده شده است.

به منظور ارائه این روابط، با به کارگیری چکش اشمیت بر روی سنگ‌های منطقه در صحراء و محاسبه وزن واحد حجم خشک نمونه‌ها و مقاومت تراکمی آن‌ها در آزمایشگاه، از حاصل ضرب وزن واحد حجم سنگ‌ها در عدد بازگشتی اشمیت استفاده شده است. از آنجاکه سنگ‌های منطقه تقریباً سالم و بدون هوازدگی هستند، مقاومت تراکمی تکمحوری برای هر سنگ معادل مقدار JCS در نظر گرفته شده است. پس از انجام آزمایش‌های صحرایی و آزمایشگاهی، داده‌های مذکور در دو دستگاه محور مختصات که در شکل‌های ۲ و ۳ ارائه شده‌اند، ترسیم گردیدند و نهایتاً روابط مورد نظر از آن‌ها استخراج شده‌اند. روابط حاصل از این پژوهش عبارتند از:

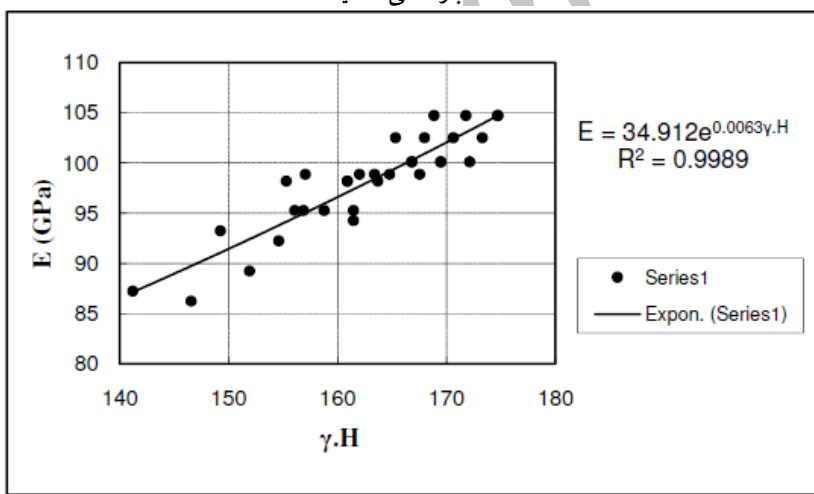
$$JCS = 10.070 \times e^{(0.020H_s \times \gamma_a)} \quad (7)$$

$$E = 34.912 \times e^{(0.0063H_s \times \gamma_a)} \quad (8)$$

در این روابط JCS مقاومت فشاری سطح درزه (MPa) پایه لگاریتم نپرین، H_s شاخص میانگین عدد سختی اشمیت، γ_a وزن واحد حجم خشک سنگ (gr/cm³) و E مدول الاستیسیته سنگ (GPa) است.



شکل ۲. نتایج حاصل از مقاومت فشاری دیواره درزه با حاصل ضرب وزن واحد حجم سنگ و عدد بازگشتی اشمیت



شکل ۳. نتایج حاصل از مدول الاستیسیته با حاصل ضرب وزن واحد حجم سنگ و عدد بازگشتی اشمیت

نتایج حاصل از کاربرد روابط این پژوهش برای چند منطقه انتخابی از محل بررسی شده، به منظور مقایسه با روابط ارائه شده به وسیله بارتون و کوبی (۱۹۷۷) و دییر (۱۹۶۰) در جدول ۳ نشان داده شده‌اند.

جدول ۳. نتایج حاصل از کاربرد چکش اشمیت برای سنگ‌های چند ایستگاه انتخابی از منطقه بررسی شده

ردیف.	لیتوژوئی	تعداد واچه‌شها	میانگین سختی بازگشتی اشمیت	وزن واحد حجم خشک (gr/cm ³)	مقاومت فشاری سطح درزه (JCS) (MPa)	مدول الاستیسیته (E) (GPa)	حاصل از دبیر (۱۹۶۰)	حاصل از این پژوهش (۸ رابطه)	بارتون و کوبی (۱۹۷۷)	دبیر (۱۹۶۰)	حاصل از دبیر (۱۹۶۰)
۱	دبیریت	۱۴۶	۶۰	۲/۹۳	۳۲۹/۹۵	۳۳۰/۱۲	۱۰۴/۸۳	۱۰۴/۷۳	۳۲۹/۶۸	دبیر (۱۹۶۰)	حاصل از دبیر (۱۹۶۰)
۲	گرانیت	۸۶	۶۴	۲/۶۶	۳۰۴/۱۱	۳۰۴/۲۴	۱۰۲/۴۴	۱۰۲/۵۲	۲۶۴/۷۸	۳۰۴/۰۲	حاصل از دبیر (۱۹۶۰)
۳	هورنفلس	۹۰	۵۸	۲/۸۰	۲۶۴/۲۹	۲۶۴/۸۷	۹۸/۲۷	۹۸/۲۰	۲۶۴/۷۸	۹۸/۲۷	حاصل از دبیر (۱۹۶۰)
۴	گرانیت	۸۸	۶۳	۲/۶۰	۲۸۱/۸۵	۲۸۱/۸۳	۱۰۰/۱۵	۱۰۰/۱۱	۲۸۱/۸۷	۲۸۱/۸۳	حاصل از دبیر (۱۹۶۰)
۵	هورنفلس	۱۳۶	۶۰	۲/۷۶۰	۲۷۰/۰۶	۲۷۰/۶۰	۹۸/۹۲	۹۸/۸۸	۲۷۰/۰۶	۹۸/۸۸	حاصل از دبیر (۱۹۶۰)
۶	هورنفلس	۱۸۸	۵۹	۲/۷۰	۲۳۹/۸۶	۲۴۰/۱۳	۹۵/۳۱	۹۵/۲۸	۲۳۹/۸۶	۹۵/۲۸	حاصل از دبیر (۱۹۶۰)
۷	هورنفلس	۹۷	۵۴	۲/۶۸	۱۷۸/۲۵	۱۷۸/۰۱	۸۷/۳۷	۸۷/۲۵	۱۷۸/۶۲	۱۷۸/۲۵	حاصل از دبیر (۱۹۶۰)

چنان‌که در جدول ۳ مشاهده می‌شود، نتایج به دست آمده هم‌خوانی بسیار خوبی با روابط ارائه شده توسط بارتون و کوبی و دبیر دارند. با توجه به ضرایب رگرسیون به دست آمده از روابط مذکور (شکل‌های ۲ و ۳) و هم‌چنین هم‌خوانی نتایج حاصل از این روابط با نتایج حاصل از روابط ارائه شده توسط محققان مذکور (جدول ۳)، استفاده از روابط پیشنهادی در این پژوهش، می‌تواند بسیار اطمینان بخش باشد.

نتیجه‌گیری

استفاده از چکش اشمیت در تعیین مقاومت فشاری و مدول الاستیسیته سنگ‌ها یکی از روش‌های سریع و غیرمخرب تلقی می‌شود که با توجه به هزینه کم، انجام این روش مقرون به صرفه است. در این پژوهش، دو رابطه تجربی جدید برای محاسبه مقاومت فشاری و مدول الاستیسیته سنگ ارائه شده است. از آن‌جا که روابط تجربی ارائه شده در این پژوهش، حاصل کاربرد چکش اشمیت بر روی سطوح درزه سنگ‌هایی نظیر گرانیت، دبیریت و هورنفلس است، لذا کاربرد این روابط برای سنگ‌های سخت نتایج خوبی ارائه می‌کند و برای توده‌های سنگی سست و شدیداً درزه‌دار و هوازده پیشنهاد نمی‌شوند. با توجه به روابط مذکور مشخص

می‌شود که ارتباط بین مقاومت فشاری سطوح درزه و مدول الاستیسیته با سختی بازگشتی اشمتی و وزن واحد حجم خشک سنگ، یک ارتباط مستقیم است. وقوع هوازدگی و افزایش تخلخل سنگ بهشدت از وزن واحد حجم و مقدار سختی بازگشتی سنگ می‌کاهد و باعث کاهش مقاومت فشاری سطوح درزه و مدول الاستیسیته آن می‌شود. بنا بر این استفاده از روابط حاصل از این پژوهش چنین شرایطی منطقی بهنظر نمی‌رسد. همچنین استفاده از روابط تجربی حاصل از کاربرد چکش اشمتی، می‌تواند از صرف وقت و هزینه‌های اضافی جلوگیری کند.

منابع

۱. خانلری، غلامرضا، زمین‌شناسی مهندسی (ویژه دانشجویان عمران)، انتشارات دانشگاه بوعلی سینا همدان (۱۳۸۸) ۳۶۴ صفحه.
۲. سپاهی گرو، علی‌اصغر، پترولوزی مجموعه پلی‌تونیک الوند با نگرشی ویژه به گرانیتوئیدها، پایان نامه دکتری پترولوزی، دانشکده علوم، دانشگاه تربیت معلم (۱۳۷۸).
۳. فریدونی، داود، بررسی پایداری توده‌های سنگی شبیه‌دار در مسیر گنج‌نامه- شهرستانه، پایان نامه کارشناسی ارشد زمین‌شناسی مهندسی، دانشکده علوم، دانشگاه بوعلی سینا (۱۳۸۲) ۱۹۱ صفحه.
۴. فریدونی داود، زمین‌شناسی عمومی و مهندسی، انتشارات خانه ادبیات (۱۳۸۷) ۴۵۰ صفحه.
5. Aydin A., Basu A., "The Schmidt Hammer in rock material characterization", Eng. Geol. Vol. 81 (2005) 1-14.
6. Buyuksagis I. S., Goktan R. M., "The effect of Schmidt Hammer type on uniaxial compressive strength prediction of rock", Int. J. Rock Mech. Min. Sci. Vol. 44 (2007) 299-307.
7. Hoek E., "Practical Rock Engineering",
http://rockeng.utoronto.ca/rok/Hoek/Hoeknote_2007.htm. (2007) 313.

8. Hudson J. A., Harrison J. P., "Engineering rock mechanics", an introduction to the principles, Elsevier Science Ltd. (2000) 458.
9. Kahraman S., "Evaluation of simple methods for assessing the uniaxial compressive strength of rock", Int. J. Rock Mech. Min. Sci. Vol. 38 (2001) 981-994.
10. Kahraman S., Fener M., Gunaydin O., "Predicting the Schmidt hammer values of in-situ intact rock from core sample values", Int. J. Rock Mech. Min. Sci. Vol.39 (2002) 395-399.
11. Katz O., Reches Z., Roegiers J. C., "Evaluation of mechanical rock properties using a Schmidt Hammer", Int. J. Rock Mech. Min. Sci. Vol.37 (2000) 723-728.
12. Khanlari G. R., "Application of Rock Mass Characterization to Slope Stability Problems", PhD Thesis, Faculty of Civil & Mining Engineering, University of Wollongong, Australia (1996).
13. Kiyoo M., "Experimental Rock Mechanics", Taylor & Francis /Balkema, London, UK (2007) 380.
14. Yasar E., Erdogan Y., "Estimation of rock physiomechanical properties using hardness methods", Eng. Geol. Vol. 71 (2004) 281-288.
15. Yilmaz I., Sendir H., "Correlation of Schmidt hardness with unconfined compressive strength and Young's modulus in gypsum from Sivas", (Turkey). Eng. Geol. Vol. 66 (2002) 211-219.